

$\beta < 0$ となる 2 次元点渦系での自己組織化の運動論的理解, 及び PEZY-SC による数値的検証

静岡大学 八柳祐一

共同研究者：

金沢大学 大塚浩史

核融合研 羽鳥尹承

京都工繊大 三瓶明希夫

理研 戎崎俊一

第 7 回統計物理学懇談会

於 学習院大学

2019 年 3 月 6 日



Agenda

1. 研究の動機

自己組織化, 大規模構造形成

2. 絶対温度が負となる状態の導入

Onsager1949

3. 非中性 (純電子) プラズマ実験で見られる自己組織化現象

非中性プラズマと Euler 方程式のつながり

4. 解析的結果

解析対象としての点渦系の導入

点渦系に対するドリフト項と拡散項からなる Fokker-Planck 型運動論的方程式

線形応答による 2 体相関関数の導出

5. 数値的結果

ウルトラ メニーコア スパコン : PEZY-SC

理論的結果の検証

6. Conclusion

1. 研究の動機

- 自己組織化現象, 大規模構造形成を理解したい
- H. Haken による 自己組織化の定義 ("Synergetics", Springer 1983)
Well-organized spatial, temporal, or spatio-temporal structures arise out of chaotic states.
 - Systematic pattern formation,
 - Large-scale structure formation, and more

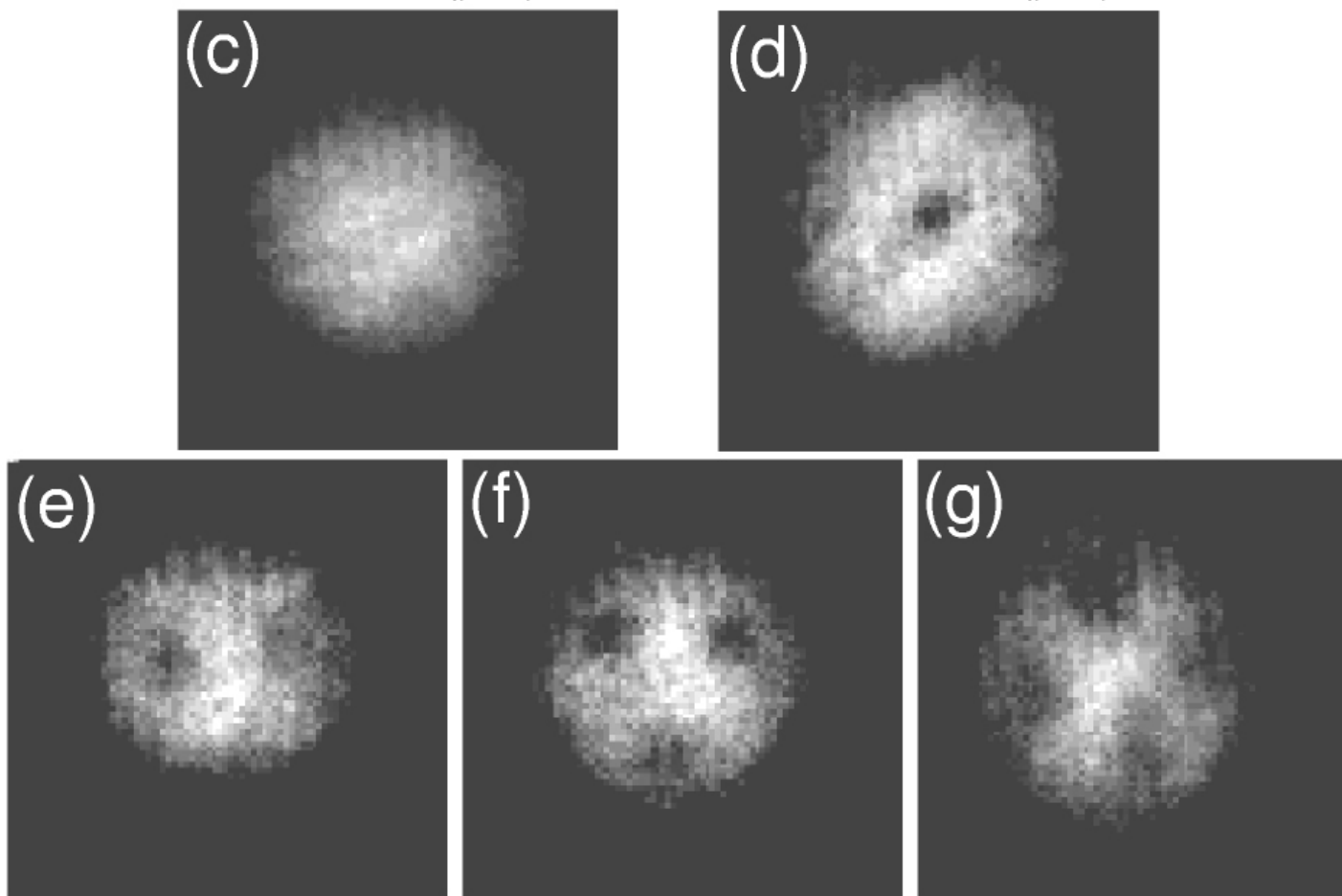


図 1.1 自己組織化／（大規模）構造形成の例 (1)

量子渦結晶

大阪市立大学 坪田さんの御厚意により形成

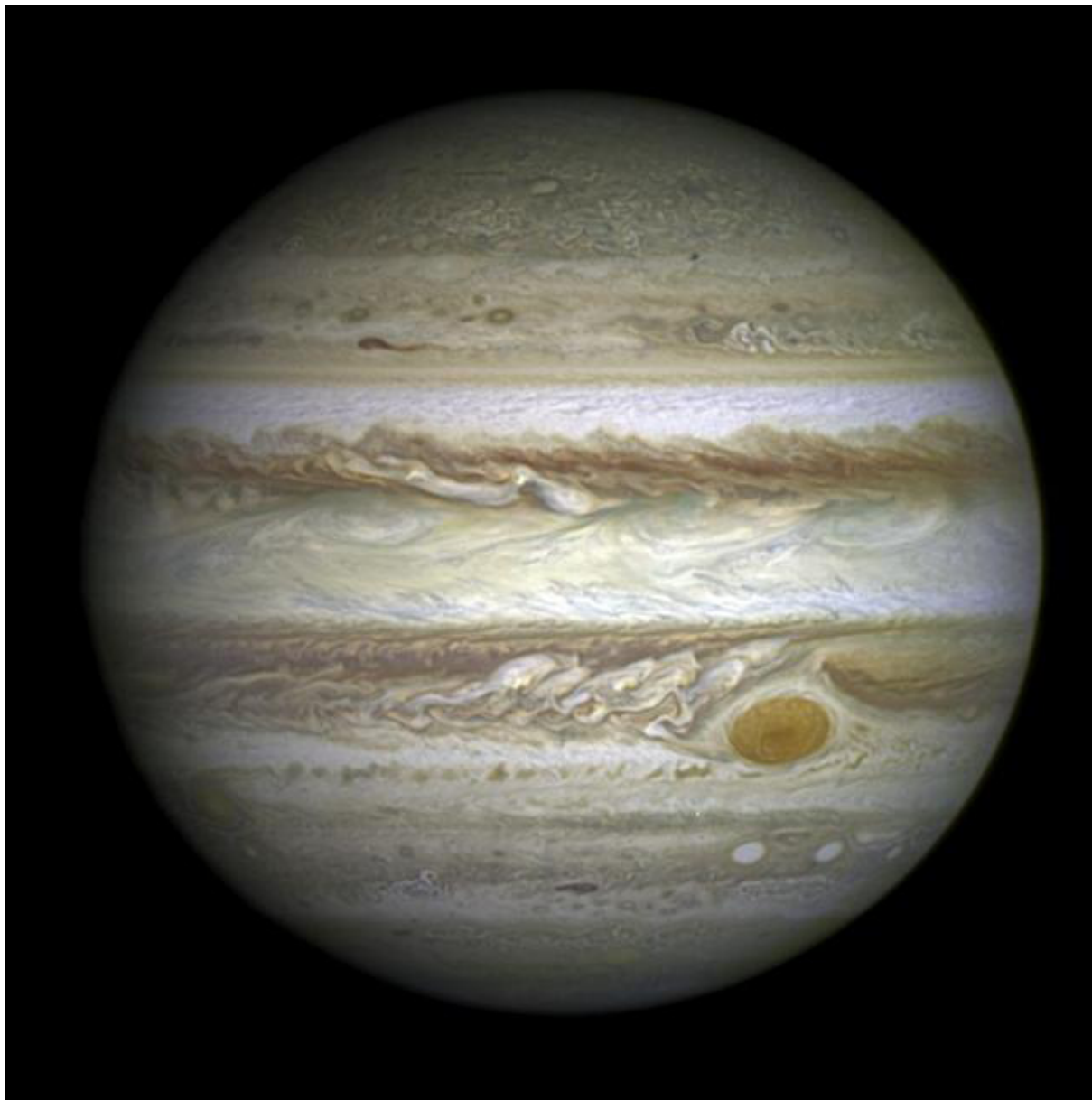


図 1.2 自己組織化／（大規模）構造形成の例 (2)
（小さくなった）大赤斑 2014 Apr. 21
NASA Image Galleries より

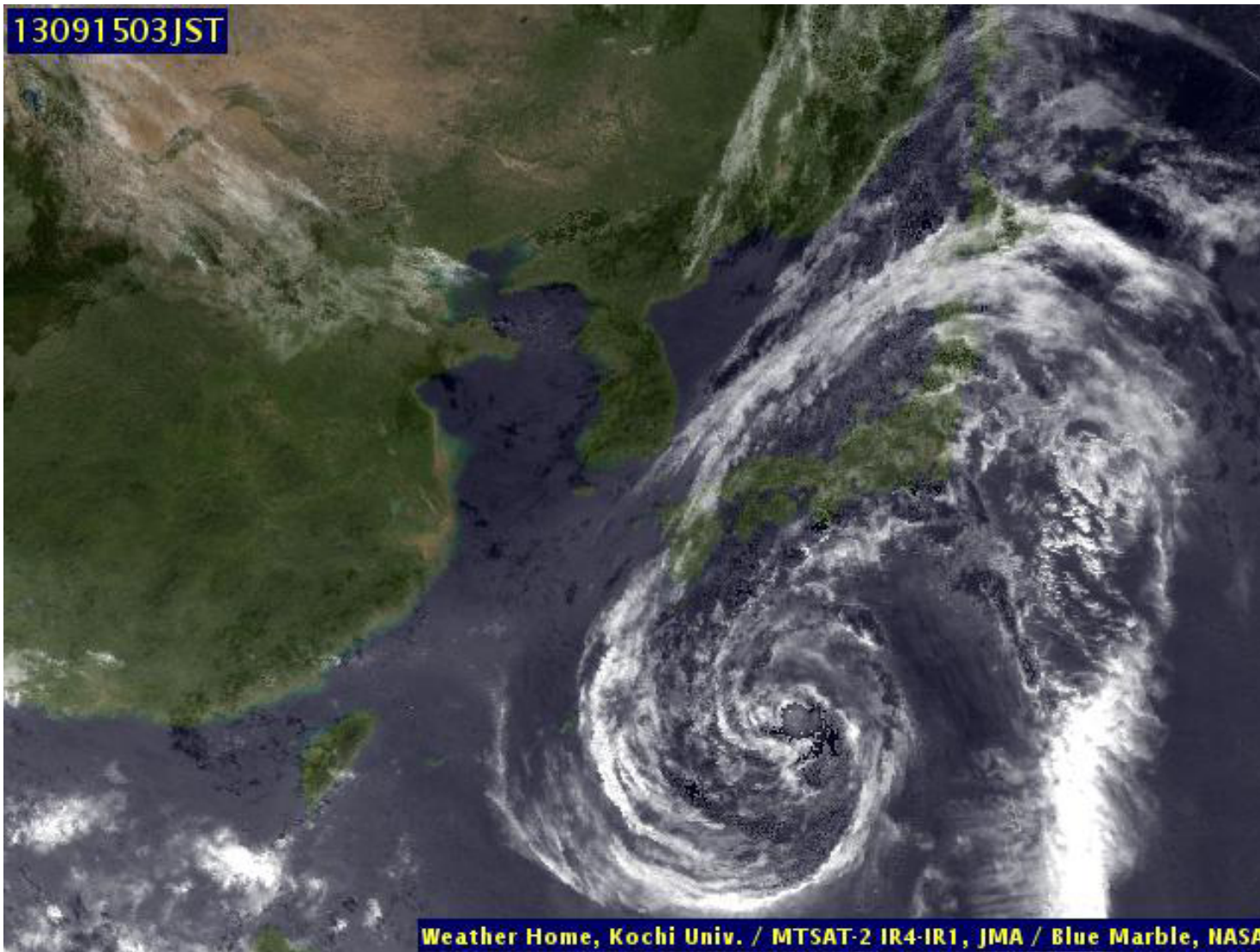


図 1.3 自己組織化／（大規模）構造形成の例 (3)
台風

高知大学気象衛星画像アーカイブより

2. 絶対温度が負となる状態の導入

- 大規模構造形成メカニズムを説明するため、Onsager(1949)により導入された。もともとはスピン系で導入された概念。
- エネルギーが大きな状態が実現されやすい

$$P(E) \propto \exp(-\beta E)$$

- 統計力学的な(逆)温度 β の定義：

$$\beta = \frac{dS}{dE} = \frac{d \log W(E)}{dE}$$

S ：エントロピー

$W(E)$ ：状態密度

E ：エネルギー

- $W(E)$ の全空間積分である総相空間体積が有限 (=状態数が有限) ならば, 状態密度関数は, あるエネルギー値 E_0 に少なくともピークをもち,

$$\lim_{E \rightarrow \pm\infty} W(E) = 0$$

となる。

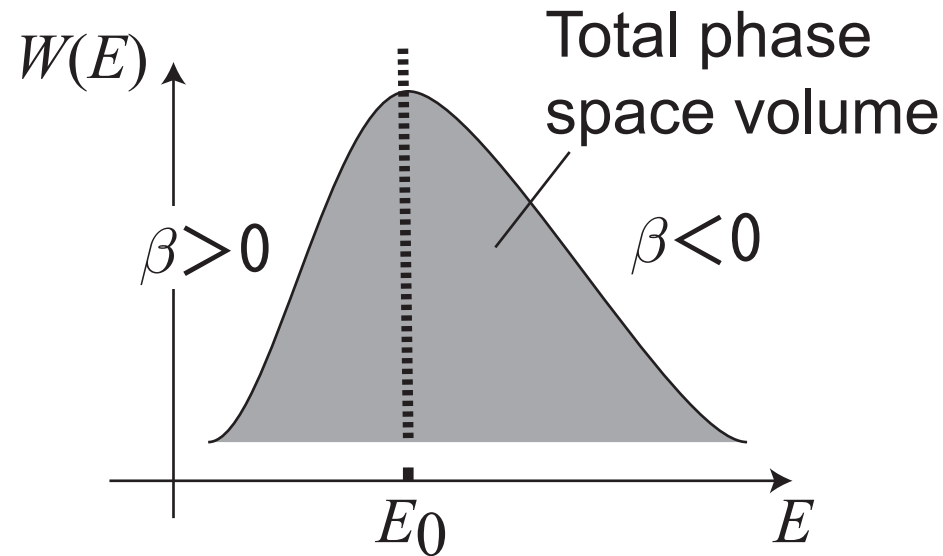


図 2.1 $E=E_0$ にピークを持つ状態密度関数

- この時, $E > E_0$ において $\beta < 0$ となる。

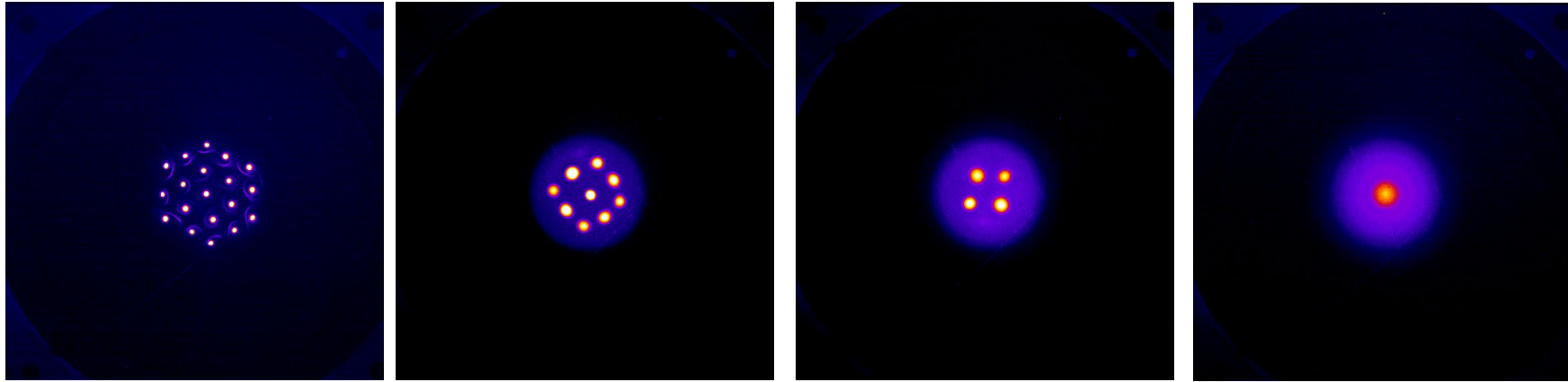
3. 非中性 (純電子) プラズマ実験で見られる自己組織化現象

- ・ 非中性？

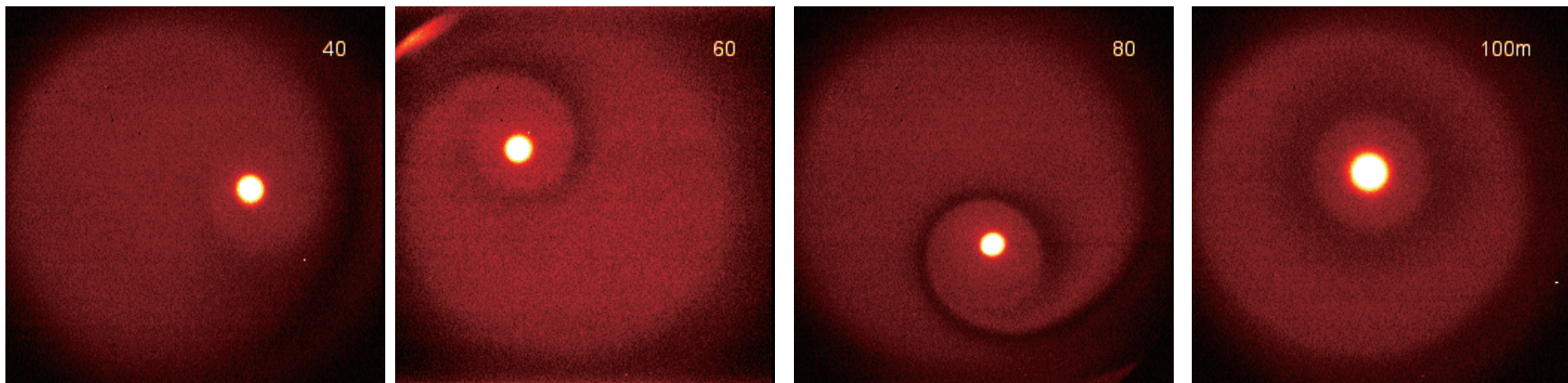
普通のプラズマ = 電氣的に中性

電氣的な中性条件が破れたプラズマ = 非中性プラズマ

正負電荷が対になって逃避しないので、閉込め特性がよい



(a) Coulomb crystal formation (Dr. Y. Soga at Kanazawa Univ.)



(b) Ring hole formation

図 3.1 純電子プラズマ実験で観測される自己組織化現象

●実験の概要

- 半径方向…軸方向の強磁場
- 軸方法…容器端で負に印加された静電場

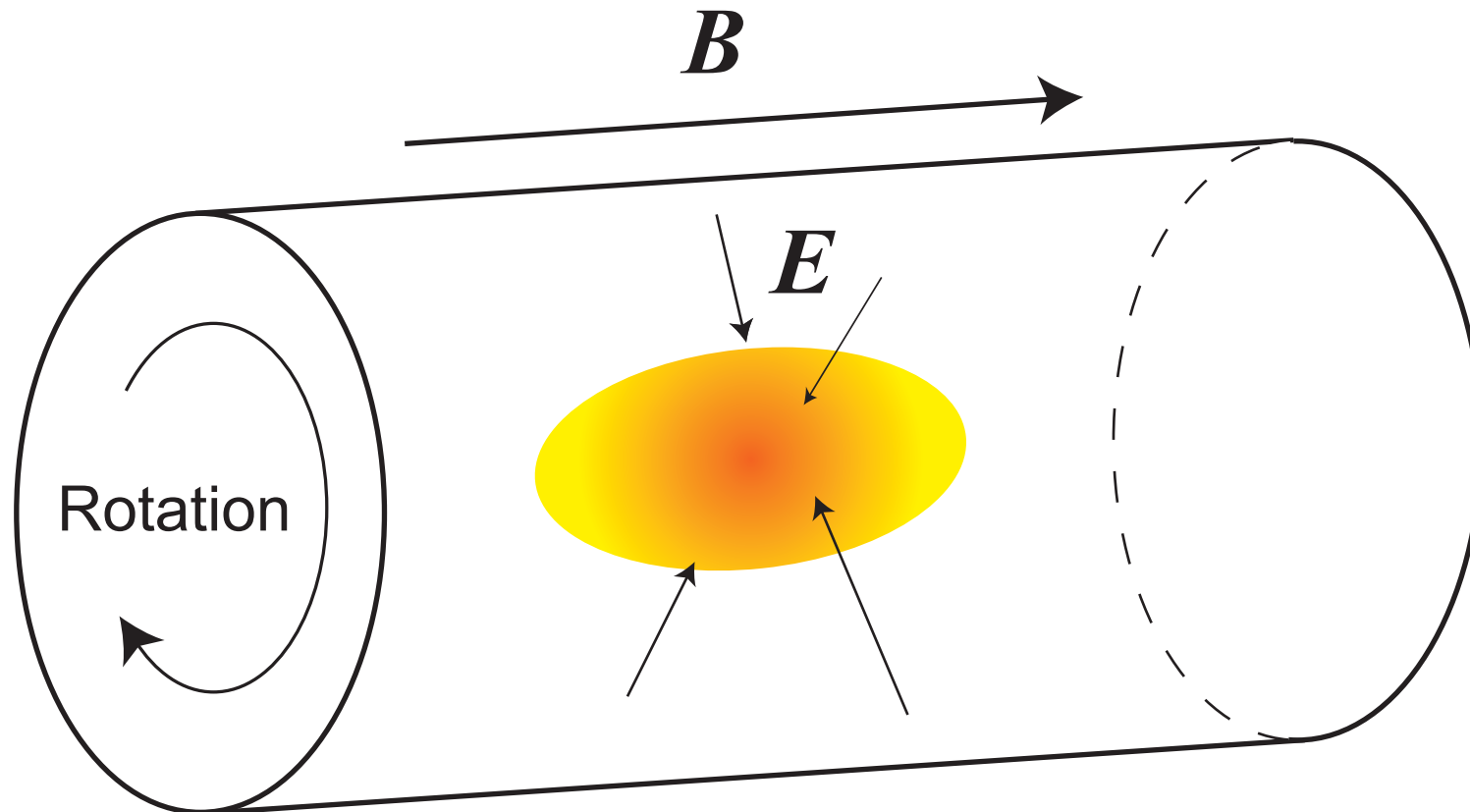


図 3.2 実験の概略図

- 磁場に垂直な断面内の電子運動は、サイクロトロン半径 = 0 の極限で、 $E \times B$ ドリフト (案内中心) 近似で表され、非圧縮が保証される。

$$\mathbf{v} = \frac{\mathbf{E} \times \mathbf{B}}{B_0^2} = -\frac{\nabla\phi \times \hat{\mathbf{z}}}{B_0} \Rightarrow \nabla \cdot \mathbf{v} = 0$$

ここで、電場と磁場に、以下の表式を用いた。

$$\mathbf{E} = -\nabla\phi, \quad \mathbf{B} = B_0\hat{\mathbf{z}}$$

- \mathbf{v} について rot をとると、渦度 ω の表式を得る。

$$\omega\hat{\mathbf{z}} = \nabla \times \mathbf{v} = \frac{\hat{\mathbf{z}}}{B_0} \nabla^2\phi = \frac{\hat{\mathbf{z}}}{B_0} \left(\frac{en}{\varepsilon_0} \right) \propto n \text{ (number density)}$$

- 渦度 \propto 電子の数密度

- 一方, 電子の数密度は, 連続の式を満たす。

$$\frac{\partial n}{\partial t} + \mathbf{v} \cdot \nabla n = 0$$

- 渦度は電子の数密度に比例するので, 連続の式は 2 次元 Euler 方程式と同等の渦度方程式に書き換えられる。

$$\frac{\partial \omega}{\partial t} + \mathbf{v} \cdot \nabla \omega = 0$$

- すなわち, 2 次元 非圧縮 非粘性 **流体実験**が, 電場と磁場により制御された**純電子プラズマ実験**により実現可能。

4. 解析的結果

4.1 解析対象としての点渦系の導入

- 点渦解 = 2次元渦度方程式の形式的解

$$\hat{\omega}(\mathbf{r}) = \sum_i \Omega_i \delta(\mathbf{r} - \mathbf{r}_i)$$

粒子的な描像に由来する物理量に $\hat{}$ を付す。

- 流れ関数 (ポテンシャル)

$$\hat{\psi}(\mathbf{r}) = \sum_i \Omega_i G(\mathbf{r}, \mathbf{r}_i)$$

- Green 関数

$$G(\mathbf{r}, \mathbf{r}') = \begin{cases} -\frac{1}{2\pi} \log |\mathbf{r} - \mathbf{r}'| & \text{(no boundary)} \\ -\frac{1}{2\pi} \log |\mathbf{r} - \mathbf{r}'| + \frac{1}{2\pi} \log |\mathbf{r} - \bar{\mathbf{r}}'| - \frac{1}{2\pi} \log \frac{R}{|\mathbf{r}'|} & \text{(circular boundary)} \end{cases}$$

- 鏡像 (円形境界)

$$\bar{\mathbf{r}}' = \frac{R^2}{|\mathbf{r}'|^2} \mathbf{r}'$$

- 点渦群の時間発展方程式

$$\Omega_i \frac{dx_i}{dt} = \frac{\partial H^N}{\partial y_i}, \quad \Omega_i \frac{dy_i}{dt} = -\frac{\partial H^N}{\partial x_i}$$
$$\mathbf{r}_i = (x_i, y_i)$$

$$H^N = \frac{1}{2} \sum_i \Omega_i \hat{\psi}(\mathbf{r}_i) \quad (\text{ただし, } \hat{\psi} \text{ 内の和は, } i \neq j)$$

相空間が (x_i, y_i) で張られている

→ 閉込め領域 (今は円形) が有限なら, 負温度状態あり

- 具体的には, (離散的な) Biot-Savart 積分となる

$$\frac{d\mathbf{r}_i}{dt} = -\frac{1}{2\pi} \sum_{j \neq i} \Omega_j \frac{(\mathbf{r}_i - \mathbf{r}_j) \times \hat{z}}{|\mathbf{r}_i - \mathbf{r}_j|^2} + \frac{1}{2\pi} \sum_j \Omega_j \frac{(\mathbf{r}_i - \bar{\mathbf{r}}_j) \times \hat{z}}{|\mathbf{r}_i - \bar{\mathbf{r}}_j|^2}$$

4.2 点渦系に対する

ドリフト項と拡散項からなる Fokker-Planck 型運動論的方程式

- 詳しい導出方法は,

単一符号版 : Y.Y etal: JPSJ, **84** (2015) 014402

正負符号版 : Y.Y etal.: Fluid Dyn. Res. **47** (2015) 065506

を参照

- 点渦の輸送メカニズムを明らかにするために, プラズマの世界で使われている Klimontovich 方程式から Fokker-Planck 方程式を導く過程をなぞって, 点渦系の運動論的方程式を導いた。

デルタ関数解を有する点渦系

⇔ 位相空間でデルタ関数解を有する Klimontovich 方程式

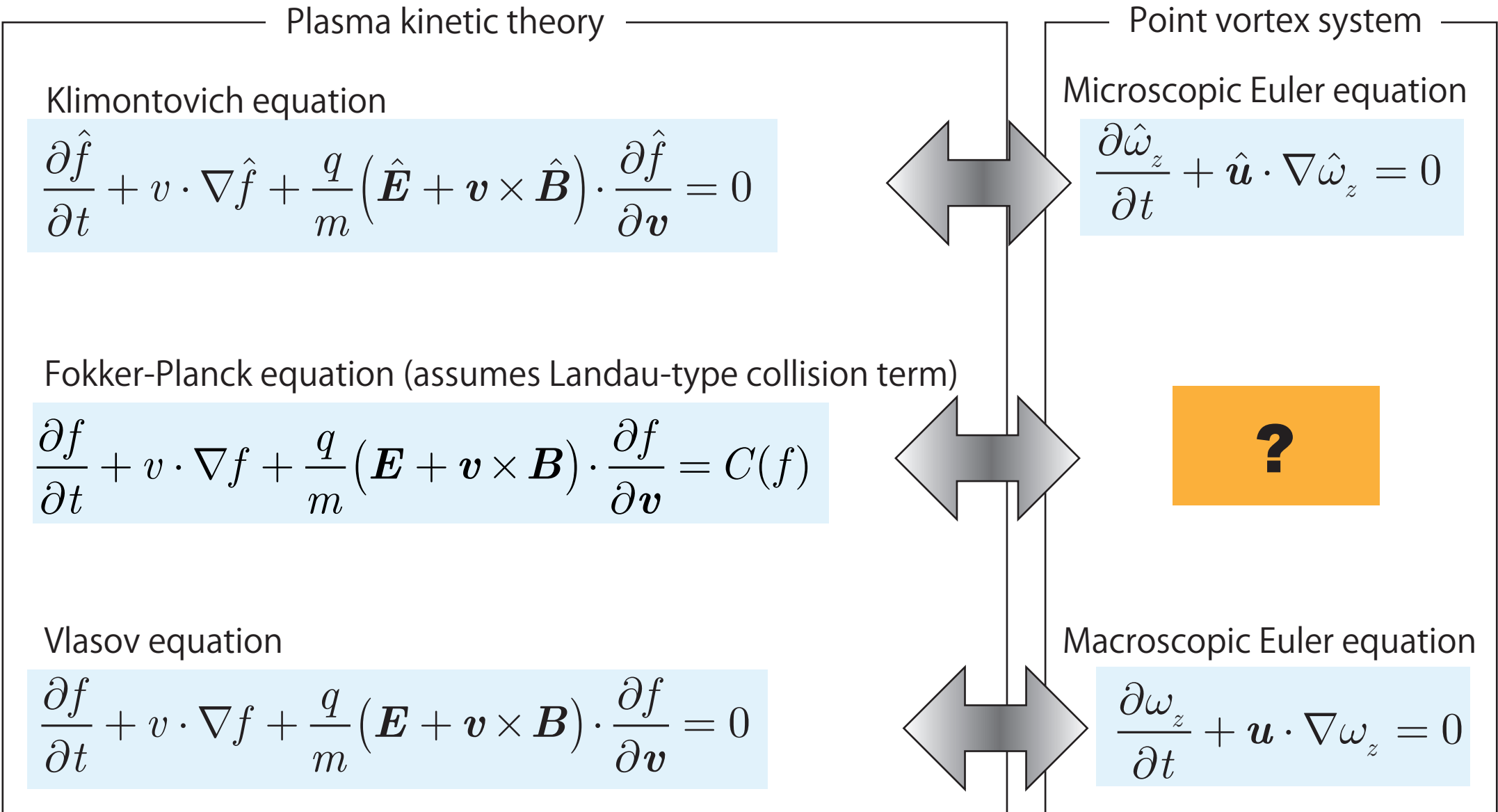


図 4.1 方程式の階層構造

- 正負点渦系の運動論的方程式

$$\frac{\partial}{\partial t} \omega_{\pm} + \nabla \cdot (\mathbf{u} \omega_{\pm}) = -\nabla \cdot \left(-\vec{\mathbf{D}}_S \cdot \nabla \omega_{\pm} \pm \mathbf{V}_S \omega_{\pm} \right)$$

$$\vec{\mathbf{D}}_S = K \int d\mathbf{r}' \frac{(\mathbf{u} - \mathbf{u}')(\mathbf{u} - \mathbf{u}')}{|\mathbf{u} - \mathbf{u}'|^3} (\omega'_+ - \omega'_-)$$

$$\mathbf{V}_S = K \int d\mathbf{r}' \frac{(\mathbf{u} - \mathbf{u}')(\mathbf{u} - \mathbf{u}')}{|\mathbf{u} - \mathbf{u}'|^3} \cdot \nabla' \omega'$$

$$\begin{aligned} \frac{\partial}{\partial t} \omega + \nabla \cdot (\mathbf{u} \omega) &= -\nabla \cdot \mathbf{\Gamma}_S \\ &= -\nabla \cdot \left(-\vec{\mathbf{D}}_S \cdot \nabla (\omega_+ + \omega_-) + \mathbf{V}_S (\omega_+ - \omega_-) \right) \\ &= -K \int d\mathbf{r}' \frac{(\mathbf{u} - \mathbf{u}')(\mathbf{u} - \mathbf{u}')}{|\mathbf{u} - \mathbf{u}'|^3} \cdot \left[(\omega'_+ - \omega'_-) \nabla \omega - (\omega_+ - \omega_-) \nabla' \omega' \right] \end{aligned}$$

- 衝突項は、**拡散項 \mathbf{D}_S** と **ドリフト項 \mathbf{V}_S** からなる。
- 特にドリフト項が、**自己組織化の鍵を握るメカニズム**を提供

■衝突項が満たす性質

- 衝突項は、物理的に望ましい①～⑤の性質を備えている

①正渦と負渦を逆向きに駆動

$$\Gamma_{S+}(\mathbf{r}) = -\overleftrightarrow{\mathbf{D}}_S \cdot \nabla \omega_+ + \mathbf{V}_S \omega_+,$$

$$\Gamma_{S-}(\mathbf{r}) = -\overleftrightarrow{\mathbf{D}}_S \cdot \nabla \omega_- - \mathbf{V}_S \omega_-$$

- 正負点渦の符号を分離

$$\omega = \omega_+ + \omega_- = \Omega_0(n_+ - n_-) \quad \rightarrow$$

$$\Gamma_{S+}(\mathbf{r}) = \Omega_0 \left(-\overleftrightarrow{\mathbf{D}}_S \cdot \nabla n_+ + \mathbf{V}_S n_+ \right),$$
$$\Gamma_{S-}(\mathbf{r}) = -\Omega_0 \left(-\overleftrightarrow{\mathbf{D}}_S \cdot \nabla n_- - \mathbf{V}_S n_- \right)$$

- 符号

拡散項 … 同一符号

ドリフト項 … 反対符号

- 正負点渦系で，正点渦と負点渦をドリフト項が逆向きに駆動
 $\beta < 0$ で見られる，正負渦が分離した平衡分布を実現

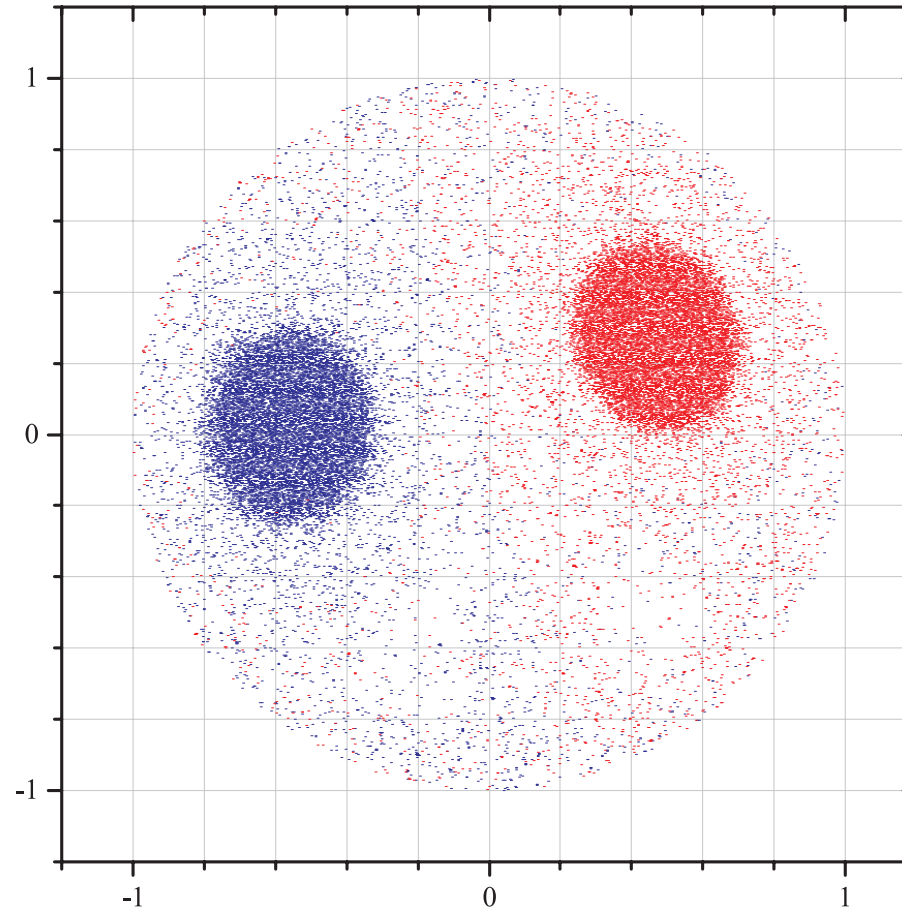


図 4.2 ドリフト項により実現される，符号分離した（準）平衡分布の例

②局所平衡状態で成り立つ詳細釣り合い

- 衝突項の積分 (再掲)

$$\int d\mathbf{r}' \frac{(\mathbf{u} - \mathbf{u}')(\mathbf{u} - \mathbf{u}')}{|\mathbf{u} - \mathbf{u}'|^3} \cdot [(\omega'_{+} - \omega'_{-}) \nabla \omega - (\omega_{+} - \omega_{-}) \nabla' \omega']$$

- 局所平衡状態では, 温度が異なる小領域が系内に散在
- 温度が異なる小領域ごとに, 以下の関係式が成り立つ。

$$\omega_{\text{leq}\pm}(\mathbf{r}) = \omega_{0\pm}(\mathbf{r}) \exp(\mp \beta_{\text{leq}\pm}(\mathbf{r}) \Omega \psi_{\text{leq}\pm})$$

- 上記の関係式を被積分関数に代入

$$\begin{aligned} & \frac{(\mathbf{u} - \mathbf{u}')(\mathbf{u} - \mathbf{u}')}{|\mathbf{u} - \mathbf{u}'|^3} \cdot [(\omega'_{+} - \omega'_{-}) \nabla \omega - (\omega_{+} - \omega_{-}) \nabla' \omega'] \\ &= -\beta_{\text{leq}\pm}(\mathbf{r}) \Omega \frac{(\mathbf{u}_{\text{leq}} - \mathbf{u}'_{\text{leq}})(\mathbf{u}_{\text{leq}} - \mathbf{u}'_{\text{leq}})}{|\mathbf{u}_{\text{leq}} - \mathbf{u}'_{\text{leq}}|^3} \cdot (\omega'_{\text{leq}+} - \omega'_{\text{leq}-}) (\omega_{\text{leq}+} - \omega_{\text{leq}-}) (\nabla \psi_{\text{leq}} - \nabla' \psi'_{\text{leq}}) \\ &= 0 \end{aligned}$$

- 被積分関数がゼロ → 詳細釣り合いが実現

③大域平衡状態での Einstein の関係式

- 大域平衡での Boltzmann 型平衡解

$$\omega_{\text{eq}\pm} = \omega_{0\pm} \exp(\mp \beta \Omega \psi_{\text{eq}})$$

- 上記式をドリフト項に代入すると，拡散項と以下の関係で結ばれることがわかる。平衡状態で成り立つ Einstein の関係式に相当：

$$\mathbf{V}_{\text{eq}} = -\beta \Omega \vec{D}_{\text{eq}} \cdot \nabla \psi_{\text{eq}}$$

- 以下の関係式も成立

$$\frac{d\omega_{\text{eq}}}{d\psi_{\text{eq}}} = -\beta \Omega (\omega_{\text{eq}+} - \omega_{\text{eq}-}) \geq 0$$

$$\nabla \cdot (\mathbf{u}_{\text{eq}} \omega_{\text{eq}}) = 0$$

- Lynden-Bell(1967) により予言された, N 体系での 2 段階の緩和
First stage (collisionless violent relaxation)

$$\frac{\partial \omega}{\partial t} + \nabla \cdot (\mathbf{u}\omega) = -\nabla \cdot \mathbf{\Gamma}$$

Second stage (collisional slow relaxation)

$$\frac{\partial \omega}{\partial t} + \nabla \cdot (\mathbf{u}\omega) = -\nabla \cdot \mathbf{\Gamma}$$

- Slow relaxation 中では $\nabla \cdot (\mathbf{u}\omega) \approx 0$ が成り立つので,

$$\frac{d\omega}{d\psi} \geq 0$$

も期待してよい。(この関係式は後で使用)

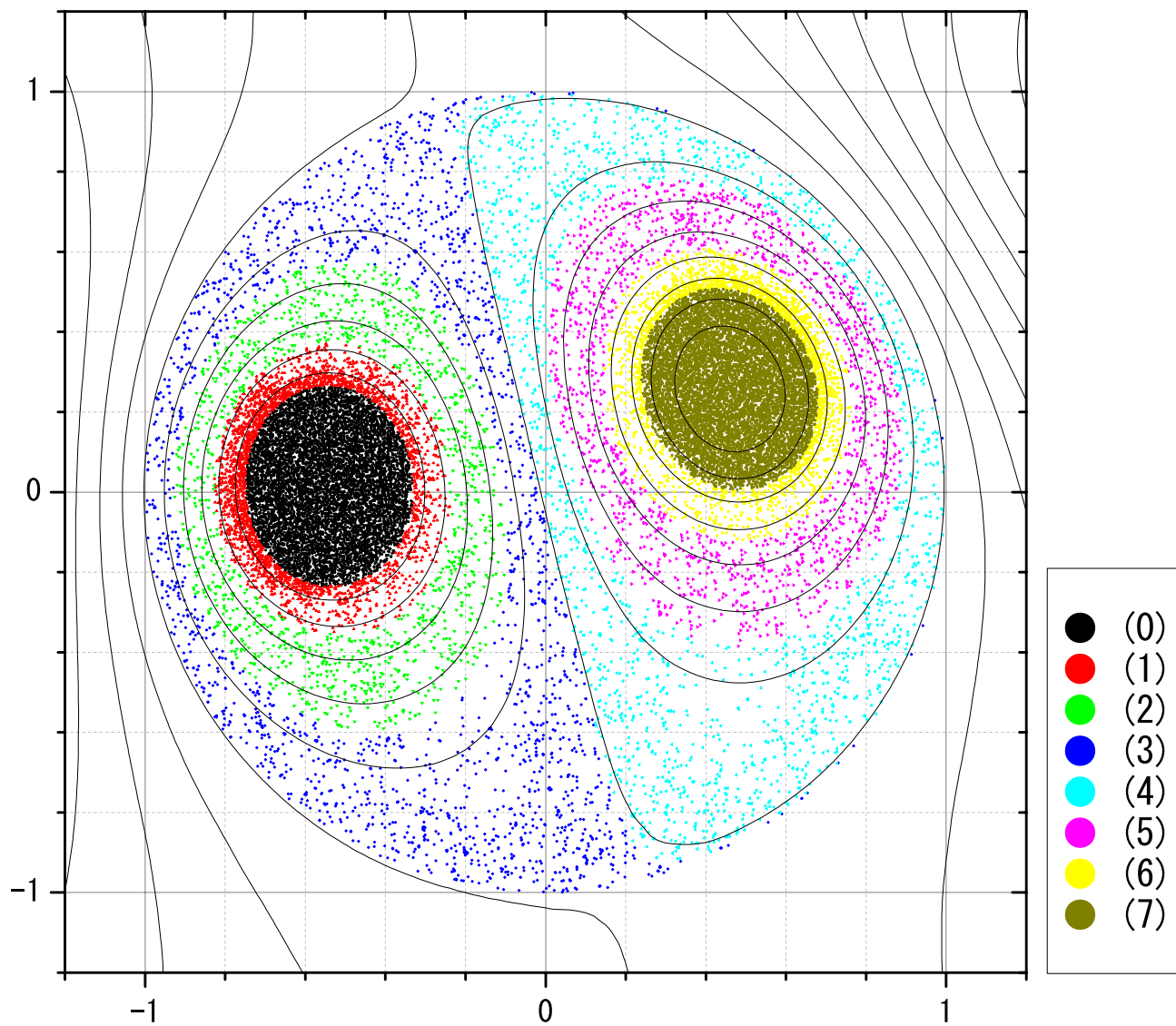


図 4.3 数値的にも, $\nabla \cdot (u\omega) \approx 0$ は確認可能

④ 平均場のエネルギーを保存

- 平均場エネルギーの定義

$$E = \frac{1}{2} \int d\mathbf{r} \omega \psi = \frac{1}{2} \int d\mathbf{r} \int d\mathbf{r}' G(\mathbf{r} - \mathbf{r}') \omega \omega'$$

- 平均場エネルギーの時間微分を計算

$$\begin{aligned} \frac{dE}{dt} &= \frac{1}{2} \int d\mathbf{r} \int d\mathbf{r}' G(\mathbf{r} - \mathbf{r}') \left(\frac{\partial \omega}{\partial t} \omega' + \omega \frac{\partial \omega'}{\partial t} \right) \\ &= -\frac{\Omega}{R} \int d\mathbf{r} \int d\mathbf{r}' \nabla \psi \cdot \frac{(\mathbf{u} - \mathbf{u}')(\mathbf{u} - \mathbf{u}')}{|\mathbf{u} - \mathbf{u}'|^3} \cdot [(\omega'_+ - \omega'_-) \nabla \omega - (\omega_+ - \omega_-) \nabla' \omega'] \\ &= -\frac{\Omega}{2R} \int d\mathbf{r} \int d\mathbf{r}' (\nabla \psi - \nabla' \psi') \cdot \frac{(\mathbf{u} - \mathbf{u}')(\mathbf{u} - \mathbf{u}')}{|\mathbf{u} - \mathbf{u}'|^3} \cdot [(\omega'_+ - \omega'_-) \nabla \omega - (\omega_+ - \omega_-) \nabla' \omega'] \\ &= 0 \end{aligned}$$

- 拡散項とドリフト項が釣り合って、エネルギー保存を実現している。

$$\frac{dE}{dt} = \frac{dE}{dt}\Big|_D + \frac{dE}{dt}\Big|_V = 0$$

$$\frac{dE}{dt}\Big|_D = -\frac{\Omega}{R} \int d\mathbf{r} \int d\mathbf{r}' \frac{|\nabla\psi \cdot (\mathbf{u} - \mathbf{u}')|^2}{|\mathbf{u} - \mathbf{u}'|^3} (\omega'_+ - \omega'_-) \frac{d\omega}{d\psi} \leq 0$$

$$\frac{dE}{dt}\Big|_V = \frac{\Omega}{R} \int d\mathbf{r} \int d\mathbf{r}' \frac{|\nabla\psi \cdot (\mathbf{u} - \mathbf{u}')|^2}{|\mathbf{u} - \mathbf{u}'|^3} (\omega_+ - \omega_-) \frac{d\omega'}{d\psi'} \geq 0$$

⑤ H 定理 (これが最後)

- H 関数 (エントロピー) の定義

$$S = -k_B H,$$

$$H = \int d\mathbf{r} \frac{\omega_+}{\Omega} \ln \frac{\omega_+}{\Omega} + \frac{\omega_-}{-\Omega} \ln \frac{\omega_-}{-\Omega} + \text{const.}$$

• H 関数の時間微分

$$\begin{aligned}
 \frac{dH}{dt} &= \frac{1}{\Omega} \int d\mathbf{r} \frac{\partial \omega_+}{\partial t} (\ln \omega_+ + 1) - \frac{\partial \omega_-}{\partial t} (\ln |\omega_-| + 1) \\
 &= -\frac{1}{2R} \int d\mathbf{r} \int d\mathbf{r}' \frac{1}{|\mathbf{u} - \mathbf{u}'|^3} \left[\omega_+ \omega'_+ \left| (\mathbf{u} - \mathbf{u}') \cdot (\nabla \ln \omega_+ + \nabla \ln \omega'_+) \right|^2 \right] \\
 &\quad - \frac{1}{2R} \int d\mathbf{r} \int d\mathbf{r}' \frac{1}{|\mathbf{u} - \mathbf{u}'|^3} \left[\omega_- \omega'_- \left| (\mathbf{u} - \mathbf{u}') \cdot (\nabla \ln \omega_- + \nabla \ln \omega'_-) \right|^2 \right] \\
 &\quad + \frac{1}{2R} \int d\mathbf{r} \int d\mathbf{r}' \frac{1}{|\mathbf{u} - \mathbf{u}'|^3} \left[\omega_+ \omega'_- \left| (\mathbf{u} - \mathbf{u}') \cdot (\nabla \ln \omega_+ + \nabla \ln \omega'_-) \right|^2 \right] \\
 &\quad + \frac{1}{2R} \int d\mathbf{r} \int d\mathbf{r}' \frac{1}{|\mathbf{u} - \mathbf{u}'|^3} \left[\omega_- \omega'_+ \left| (\mathbf{u} - \mathbf{u}') \cdot (\nabla \ln \omega_- + \nabla \ln \omega'_+) \right|^2 \right] \\
 &\leq 0
 \end{aligned}$$

- エントロピー生成は拡散項, エントロピー消滅はドリフト項が担う

$$\frac{dS}{dt} = \frac{dS}{dt}\Big|_D + \frac{dS}{dt}\Big|_V \geq 0$$

$$\frac{dS}{dt}\Big|_D = \frac{k_B}{R} \int dr \int dr' \left(\frac{|\nabla\omega_+ \cdot (\mathbf{u} - \mathbf{u}')|^2}{\omega_+} - \frac{|\nabla\omega_- \cdot (\mathbf{u} - \mathbf{u}')|^2}{\omega_-} \right) \frac{\omega'_+ - \omega'_-}{|\mathbf{u} - \mathbf{u}'|^3} \geq 0$$

$$\frac{dS}{dt}\Big|_V = -\frac{k_B}{R} \int dr \int dr' \nabla\omega \cdot \frac{(\mathbf{u} - \mathbf{u}')(\mathbf{u} - \mathbf{u}')}{|\mathbf{u} - \mathbf{u}'|^3} \cdot \nabla'\omega'$$

$$= -\frac{k_B}{R} \int dr \int dr' \frac{|\nabla\psi \cdot (\mathbf{u} - \mathbf{u}')|^2}{|\mathbf{u} - \mathbf{u}'|^3} \frac{d\omega}{d\psi} \frac{d\omega'}{d\psi'} \leq 0$$

- 熱平衡状態で成り立つ関係式

$$\left. \frac{dS}{dt} \right|_D = - \left. \frac{dS}{dt} \right|_V \quad (\geq 0)$$

- すなわち，エントロピー生成が止まる。

$$\frac{dS}{dt} = \left. \frac{dS}{dt} \right|_D + \left. \frac{dS}{dt} \right|_V = 0$$

4.3 線形応答による 2 体相関関数の導出

線形応答 $\rightarrow \langle \delta\omega(\mathbf{r})\delta\omega(\mathbf{r}') \rangle$ の式を得る

\rightarrow Ornstein-Zernike の関係式から 2 体相関関数 g を導入

$\rightarrow g$ を求める

• 平衡系に対する表式

N 体分布関数

$$\mu^N(\mathbf{r}_1, \dots, \mathbf{r}_N) = \frac{e^{-\beta H^N(\mathbf{r}_1, \dots, \mathbf{r}_N)}}{\int e^{-\beta H^N(\mathbf{r}_1, \dots, \mathbf{r}_N) d\mathbf{r}_1 \dots d\mathbf{r}_N}$$

1 体, 2 体分布関数

$$P_1^N(\mathbf{r}_1) = \int \mu^N(\mathbf{r}_1, \dots, \mathbf{r}_N) d\mathbf{r}_2 \dots d\mathbf{r}_N$$

$$P_2^N(\mathbf{r}_1, \mathbf{r}_2) = \int \mu^N(\mathbf{r}_1, \dots, \mathbf{r}_N) d\mathbf{r}_3 \dots d\mathbf{r}_N$$

- 平衡解の原点に任意の擾乱 (外場) を与える。たとえば, デルタ関数型など:

$$\hat{\omega}_{ex}(\mathbf{r}) = \Omega \delta(\mathbf{r})$$

$$\hat{\psi}_{ex}(\mathbf{r}) = \Omega G_0(\mathbf{r}, 0)$$

- 擾乱ありの Hamiltonian

$$H_C^N = H^N + \sum_i c \Omega \hat{\psi}_{ex}(\mathbf{r}_i)$$

c は擾乱の強さを表すパラメタ

- この時の N 体分布関数

$$\mu_c^N(\mathbf{r}_1, \dots, \mathbf{r}_N) = \frac{e^{-\beta H_c^N(\mathbf{r}_1, \dots, \mathbf{r}_N)}}{\int e^{-\beta H_c^N(\mathbf{r}_1, \dots, \mathbf{r}_N)} d\mathbf{r}_1 \cdots d\mathbf{r}_N}$$

- 同様に $P_{c,1}^N(\mathbf{r}_1), P_{c,2}^N(\mathbf{r}_1, \mathbf{r}_2)$ も定義

以後の表記についての注意

$$\mu^N = \mu_0^N, P_1^N = P_{0,1}^N$$

- 二つのルートで計算

- 線形応答→熱力学的極限 …(A)

- 熱力学的極限→線形応答 …(B)

- (A) の計算

- 微分してから，摂動 = 0 の極限をとる

$$\left. \frac{\partial}{\partial c} \mu_c^N \right|_{c=0} = \mu^N(-\beta\Omega) \sum_j \hat{\psi}_{ex}(\mathbf{r}_j) - \mu^N(-\beta\Omega) N \int P_1^N(\mathbf{r}') \hat{\psi}_{ex}(\mathbf{r}') d\mathbf{r}'$$

• 上記より

$$\begin{aligned}
 \left. \frac{\partial}{\partial c} P_{c,1}^N(\mathbf{r}_1) \right|_{c=0} &= \int \left. \frac{\partial}{\partial c} \mu^N(\mathbf{r}_1, \dots, \mathbf{r}_N) \right|_{c=0} d\mathbf{r}_2 \cdots d\mathbf{r}_N \\
 &= \int \mu^N(-\beta\Omega) \sum_j \hat{\psi}_{ex}(\mathbf{r}_j) d\mathbf{r}_2 \cdots d\mathbf{r}_N \\
 &\quad - P_1^N(\mathbf{r}_1) (-\beta\Omega) N \int P_1^N(\mathbf{r}') \hat{\psi}_{ex}(\mathbf{r}') d\mathbf{r}' \\
 &= (-\beta\Omega) \left[P_1^N(\mathbf{r}_1) \hat{\psi}_{ex}(\mathbf{r}_1) + (N-1) \int P_2^N(\mathbf{r}_1, \mathbf{r}_2) \hat{\psi}_{ex}(\mathbf{r}_2) d\mathbf{r}_2 \right] \\
 &\quad + \beta\Omega P_1^N(\mathbf{r}_1) N \int P_1^N(\mathbf{r}_2) \hat{\psi}_{ex}(\mathbf{r}_2) d\mathbf{r}_2
 \end{aligned}$$

• $\omega_c^N = \langle \hat{\omega}_c^N \rangle = N\Omega P_{c,1}^N$ なので, $\times N\Omega$ により

$$\left. \frac{\partial}{\partial c} P_{c,1}^N(\mathbf{r}_1) \right|_{c=0} \rightarrow \left. \frac{\partial}{\partial c} \omega_c^N(\mathbf{r}_1) \right|_{c=0}$$

- 上式は、揺動応答公式で書くことが可能 (詳細は長くなるので省略)

$$\left. \frac{\partial}{\partial c} \omega_c^N(\mathbf{r}) \right|_{c=0} = -\beta \int \langle \delta\omega(\mathbf{r})\delta\omega(\mathbf{r}') \rangle \hat{\psi}_{ex}(\mathbf{r}') d\mathbf{r}'$$

- Ornstein-Zernike の式により、2体相関関数 g を導入

$$\langle \delta\omega(\mathbf{r})\delta\omega(\mathbf{r}') \rangle = \Omega\omega^N(\mathbf{r})\delta(\mathbf{r} - \mathbf{r}') + \omega^N(\mathbf{r})\omega^N(\mathbf{r}')g^N(\mathbf{r}, \mathbf{r}')$$

- これより、次を得る。

$$\left. \frac{\partial}{\partial c} \omega_c^N(\mathbf{r}) \right|_{c=0} = -\beta\Omega\omega^N(\mathbf{r})\hat{\psi}_{ex}(\mathbf{r}) - \beta\omega^N(\mathbf{r}) \int g^N(\mathbf{r}, \mathbf{r}')\omega^N(\mathbf{r}')\hat{\psi}_{ex}(\mathbf{r}') d\mathbf{r}'$$

- 形式的に $N \rightarrow \infty$ とする。これが (A) の結果。

$$\left. \frac{\partial}{\partial c} \omega_c^N(\mathbf{r}) \right|_{c=0} = -\tilde{\beta} \tilde{\Omega} \omega^N(\mathbf{r}) \hat{\psi}_{ex}(\mathbf{r}) - \tilde{\beta} \omega^N(\mathbf{r}) \int g^N(\mathbf{r}, \mathbf{r}') \omega^N(\mathbf{r}') \hat{\psi}_{ex}(\mathbf{r}') d\mathbf{r}'$$

ただし

$$\omega_c(\mathbf{r}) = \lim_{N \rightarrow \infty} \omega_c^N(\mathbf{r}), \quad g(\mathbf{r}_1, \mathbf{r}_2) = \lim_{N \rightarrow \infty} N g^N(\mathbf{r}_1, \mathbf{r}_2)$$

$$\text{注: } \omega_c^N(\mathbf{r}) = N \Omega P_c^N(\mathbf{r}), \quad \Omega = \frac{\tilde{\Omega}}{N}, \quad \beta = \tilde{\beta} N$$

● (B) の計算

• $N \rightarrow \infty$ とした平均場方程式からスタート

• $\omega(\mathbf{r})$ に対する平均場方程式

$$\omega(\mathbf{r}) = -\Delta\psi(\mathbf{r}) = \tilde{\Omega} \frac{e^{-\tilde{\beta}\tilde{\Omega}\psi(\mathbf{r})}}{\int e^{-\tilde{\beta}\tilde{\Omega}\psi(\mathbf{r}')} d\mathbf{r}'}$$

• $\omega_c(\mathbf{r})$ に対する平均場方程式

$$\omega_c(\mathbf{r}) = -\Delta\psi_c(\mathbf{r}) = \tilde{\Omega} \frac{e^{-\tilde{\beta}\tilde{\Omega}(\psi_c(\mathbf{r})+c\hat{\psi}_{ex}(\mathbf{r}))}}{\int e^{-\tilde{\beta}\tilde{\Omega}(\psi_c(\mathbf{r}')+c\hat{\psi}_{ex}(\mathbf{r}'))} d\mathbf{r}'}$$

- $c \rightarrow 0$ の極限をとる。これが (B) の結果。

$$\begin{aligned}
\left. \frac{\partial}{\partial c} \omega_c \right|_{c=0} &= \tilde{\Omega} \left. \frac{\partial P_c}{\partial c} \right|_{c=0} = \tilde{\Omega} P(\mathbf{r}) (-\tilde{\beta}) \left(\tilde{\Omega}^2 G \left. \frac{\partial P_c}{\partial c} \right|_{c=0} + \tilde{\Omega} \hat{\psi}_{ex}(\mathbf{r}) \right) \\
&\quad - \tilde{\Omega} P(\mathbf{r}) \int P(\mathbf{r}) (-\tilde{\beta}) \left(\tilde{\Omega}^2 G \left. \frac{\partial P_c}{\partial c} \right|_{c=0} + \tilde{\Omega} \hat{\psi}_{ex}(\mathbf{r}) \right) \\
&= -\tilde{\beta} \tilde{\Omega} \omega(\mathbf{r}) \left(G \left. \frac{\partial \omega_c}{\partial c} \right|_{c=0} + \hat{\psi}_{ex}(\mathbf{r}) \right) \\
&\quad + \tilde{\beta} \omega(\mathbf{r}) \int \omega(\mathbf{r}) \left(G \left. \frac{\partial \omega_c}{\partial c} \right|_{c=0} + \hat{\psi}_{ex}(\mathbf{r}) \right)
\end{aligned}$$

- (A) と (B) が等しいとにおいて, 平均場方程式の線形化作用素を作用させると, $\hat{\psi}_{ex}(\mathbf{r})$ が任意であることから,

$$\left(-\Delta + \tilde{\beta}\tilde{\Omega}\omega(\mathbf{r})\right)\frac{g(\mathbf{r})}{-\tilde{\beta}\tilde{\Omega}^2} = \delta(\mathbf{r})$$

が得られる。

- Prajapat-Tarantello ('01 Proc. Roy. Soc. Edin.) の結果を適用すると, 全空間解や $B_1(0)$ の解を求める事ができる。

- 全空間解では，相関関数が満たす条件式

$$\int_{\mathbb{R}^2} \omega_{eq}(\mathbf{r})g(\mathbf{r})d\mathbf{r} = 0$$

が満足できない。よって

$$\int_0^R \omega_{eq}(\mathbf{r})g(\mathbf{r})d\mathbf{r} = 0$$

として，切断半径 R を導入する。

$$g(\mathbf{r}) = -\tilde{\beta}\tilde{\Omega}^2 \left[\frac{1}{2\pi} \frac{\frac{1}{8} \left| \frac{\mathbf{r}}{\varepsilon} \right|^2 - 1}{\frac{1}{8} \left| \frac{\mathbf{r}}{\varepsilon} \right|^2 + 1} \left(\ln \left| \frac{\mathbf{r}}{R} \right| - \frac{1}{2} \left(\frac{1}{8} \left| \frac{R}{\varepsilon} \right|^2 + 1 \right) \right) - \frac{1}{2\pi} \right]$$

- $B_1(0)$ の解は，P-T 解に含まれる任意定数 ε を調整することにより，境界条件を満たすようにする。 ε は $\tilde{\beta}$ の関数となる。

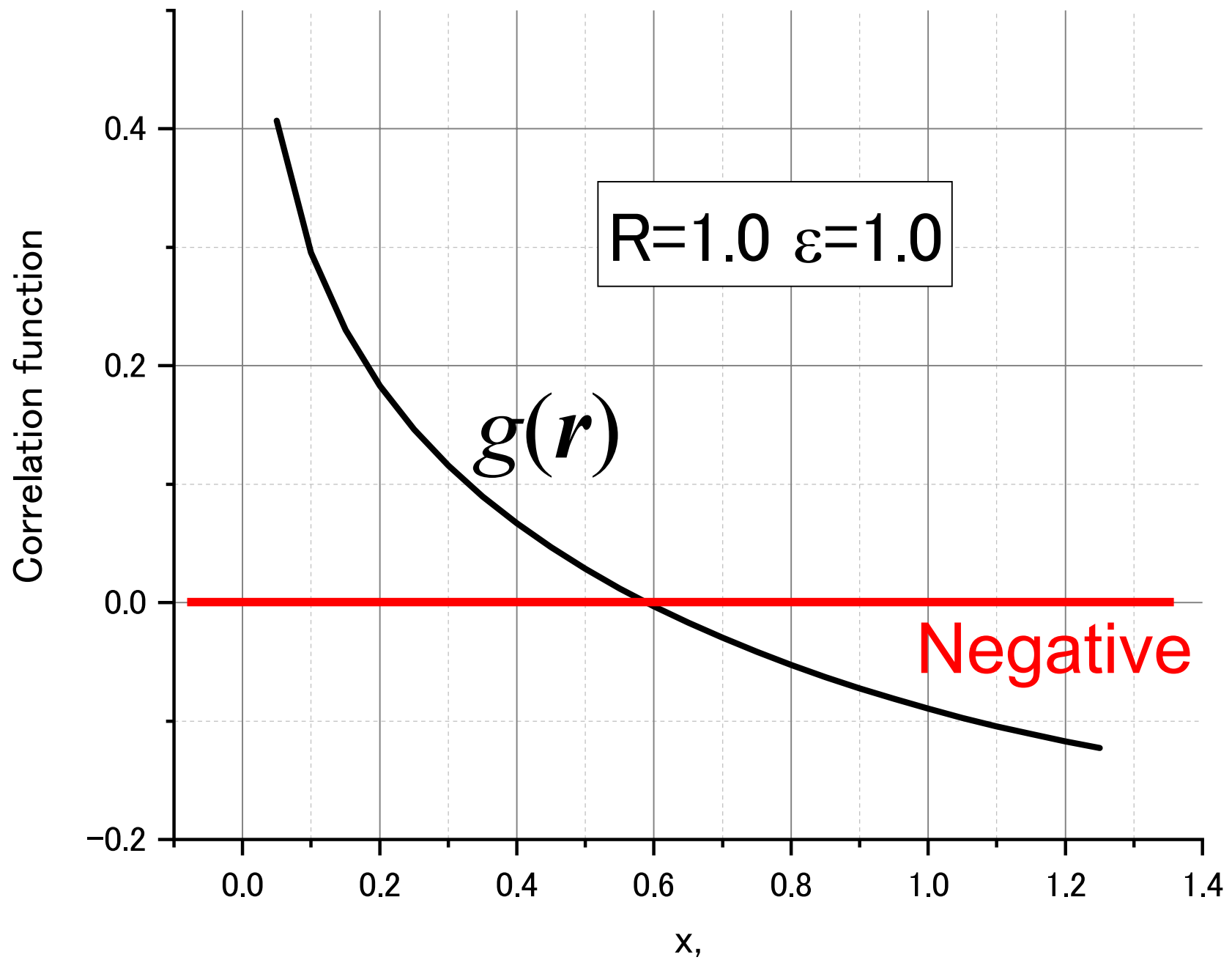


図 4.4 全空間の場合の相関関数の概形

5. 数値的結果

5.1 ウルトラ メニーコア スパコン：PEZY-SC (Peta-Exa-Zetta-Yotta)

- 理研に設置されている菖蒲 System B を使用：
- PEZY Computing / ExaScaler 社により開発
- 2018 年秋の GREEN500 スパコンリストで、3 期連続**世界 1 位**達成！

1 位じゃないとダメなんですよ (笑)

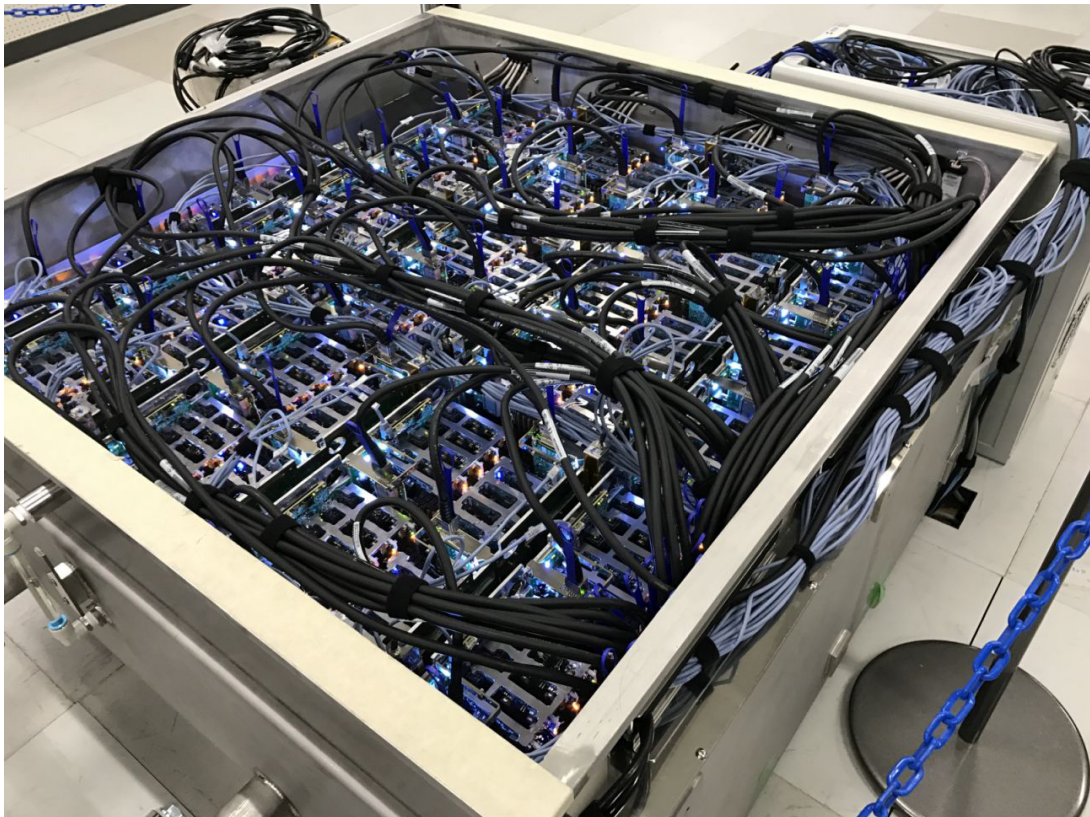


図 5.1 左：液浸槽 右：ブリック (CPU モジュール)

- PEZY-SC プロセッサの特徴：
 - ウルトラ メニーコア
 - PE あたり 8-way マルチスレッディング
 - GPU(= SIMD) とは異なる, MIMD アーキテクチャ：分岐に強い

表 5.1 PEZY-SCx プロセッサ諸元

	SC1	SC2
発表	2014年8月	2017年3月
ノードあたりのプロセッサ数	4	8
プロセッサあたりの PE 数	1024	2048
PE あたりのスレッド数	8	8
プロセッサあたりの全スレッド数	8,192	16,384
ノードあたりの全スレッド数	32,768	131,072
プロセッサあたりの FLOPS(DP)	1.5T	4.1T
プロセッサあたりの FLOPS(SP)	3.0T	8.2T

2019 年中に SC3 を発表予定。

5.2 理論的結果の検証

● Fokker-Planck 型衝突項

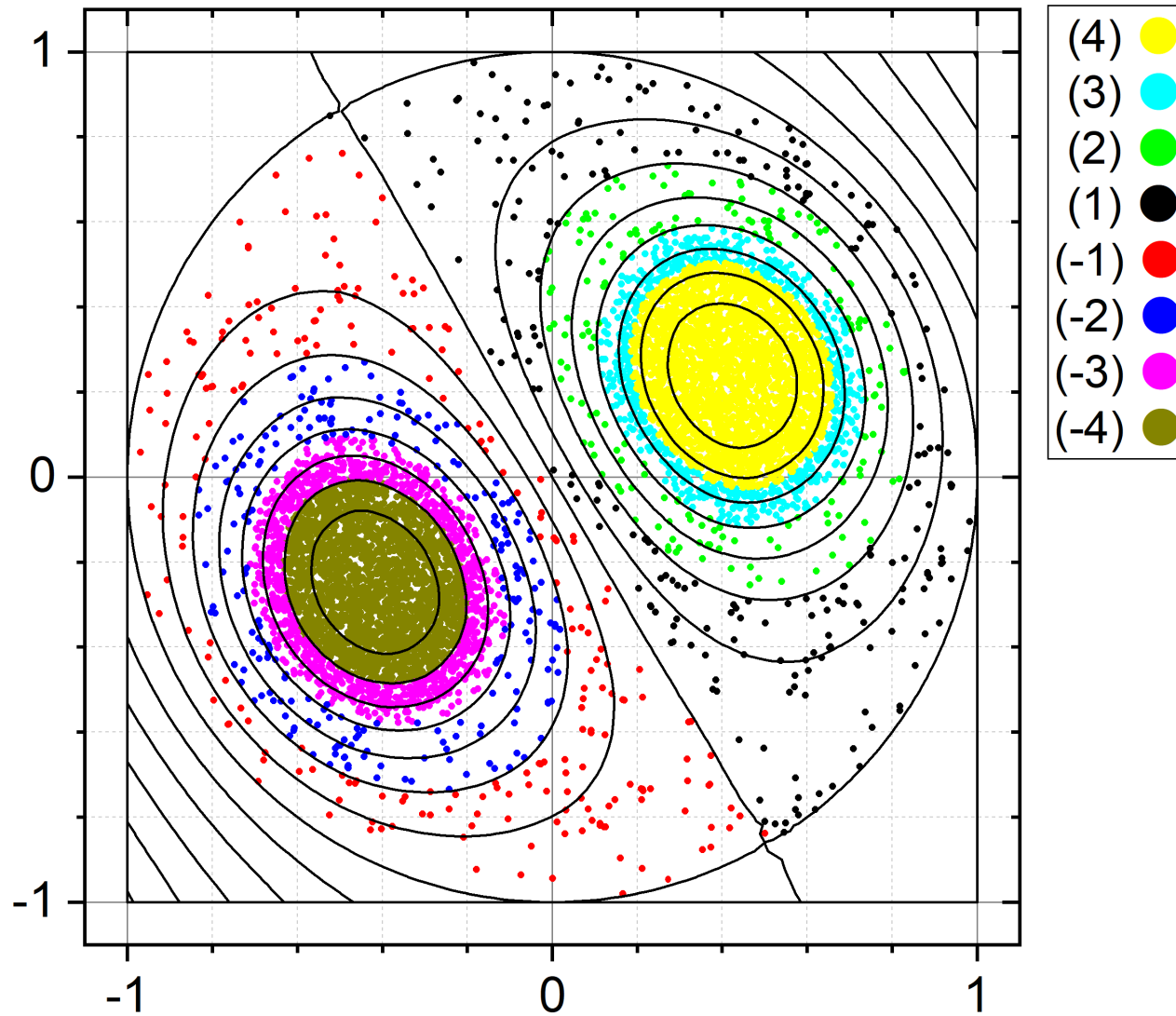


図 5.2 準平衡分布

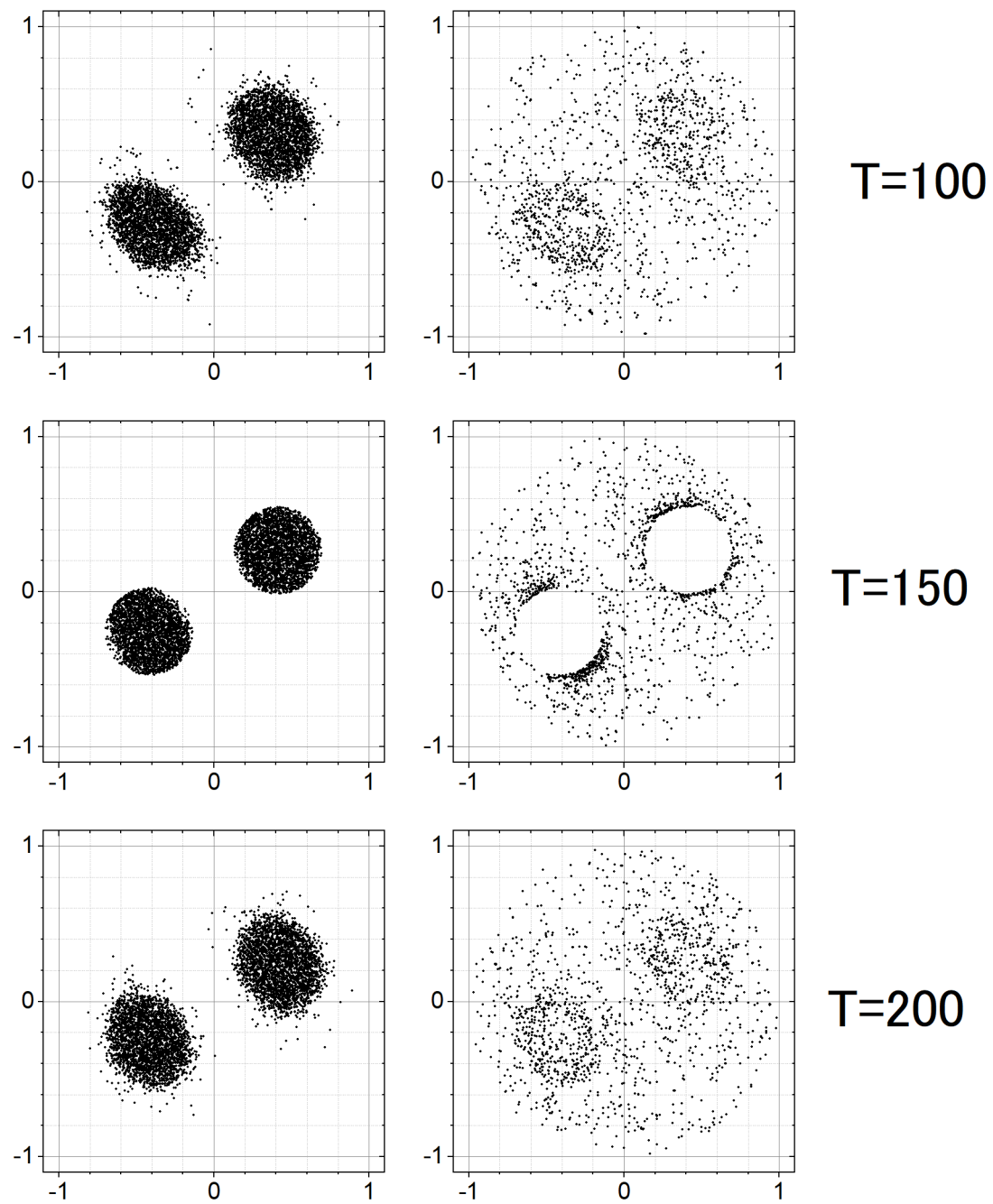
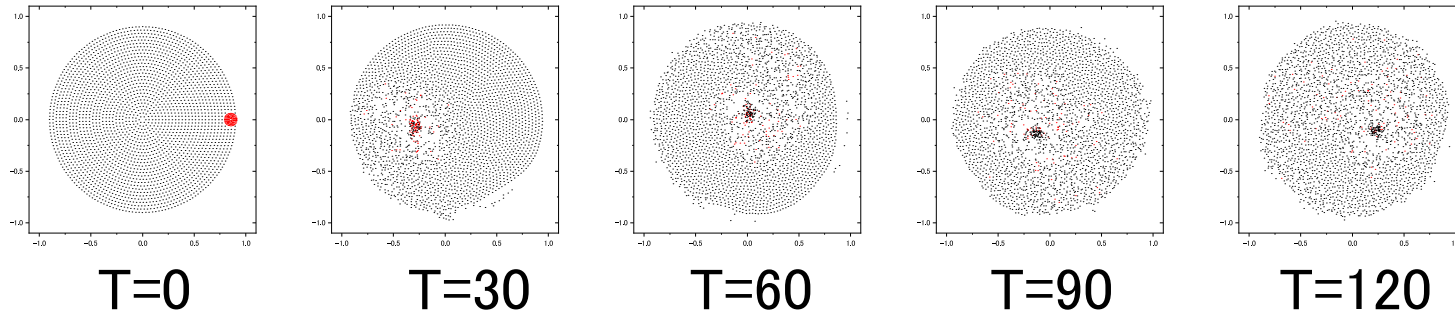


図 5.3 流れ函数の等値面を横切る輸送が確かにある

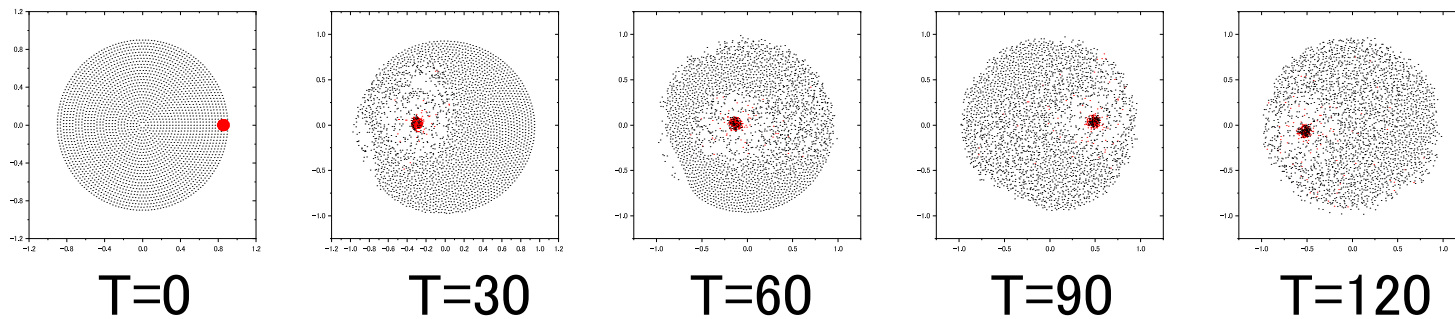
● リングホール形成

- ・ 綺麗なリングホールが形成される条件

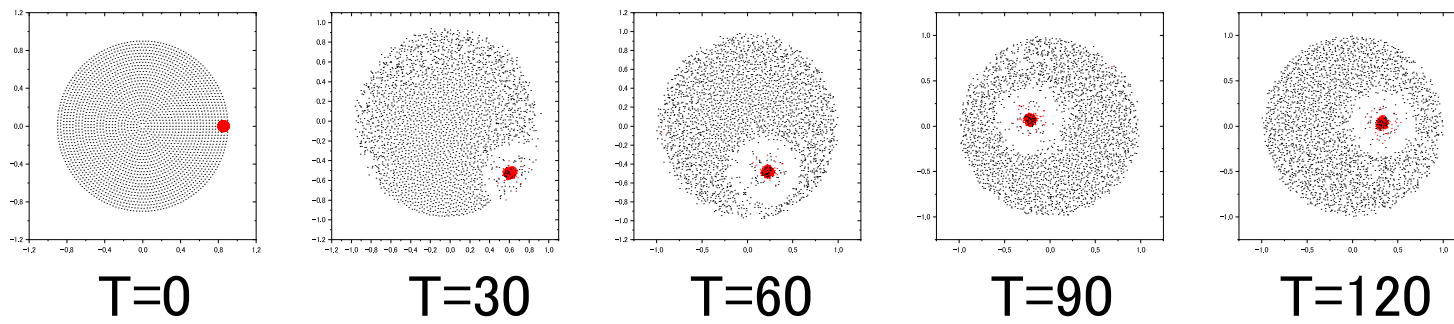
背景渦の公転時間スケール ~ 40



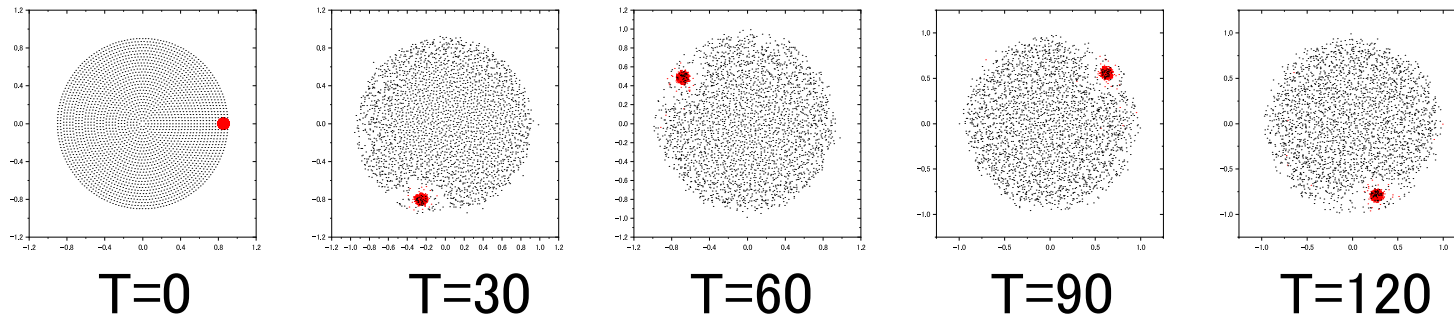
(a) 点渦数 = 94



(b) 点渦数 = 226



(c) 点渦数 = 415



(d) 点渦数 = 572

図 5.4 クランプの点渦数を変化させたシミュレーション

- リングホール内の平均渦度と背景渦度の比は一定

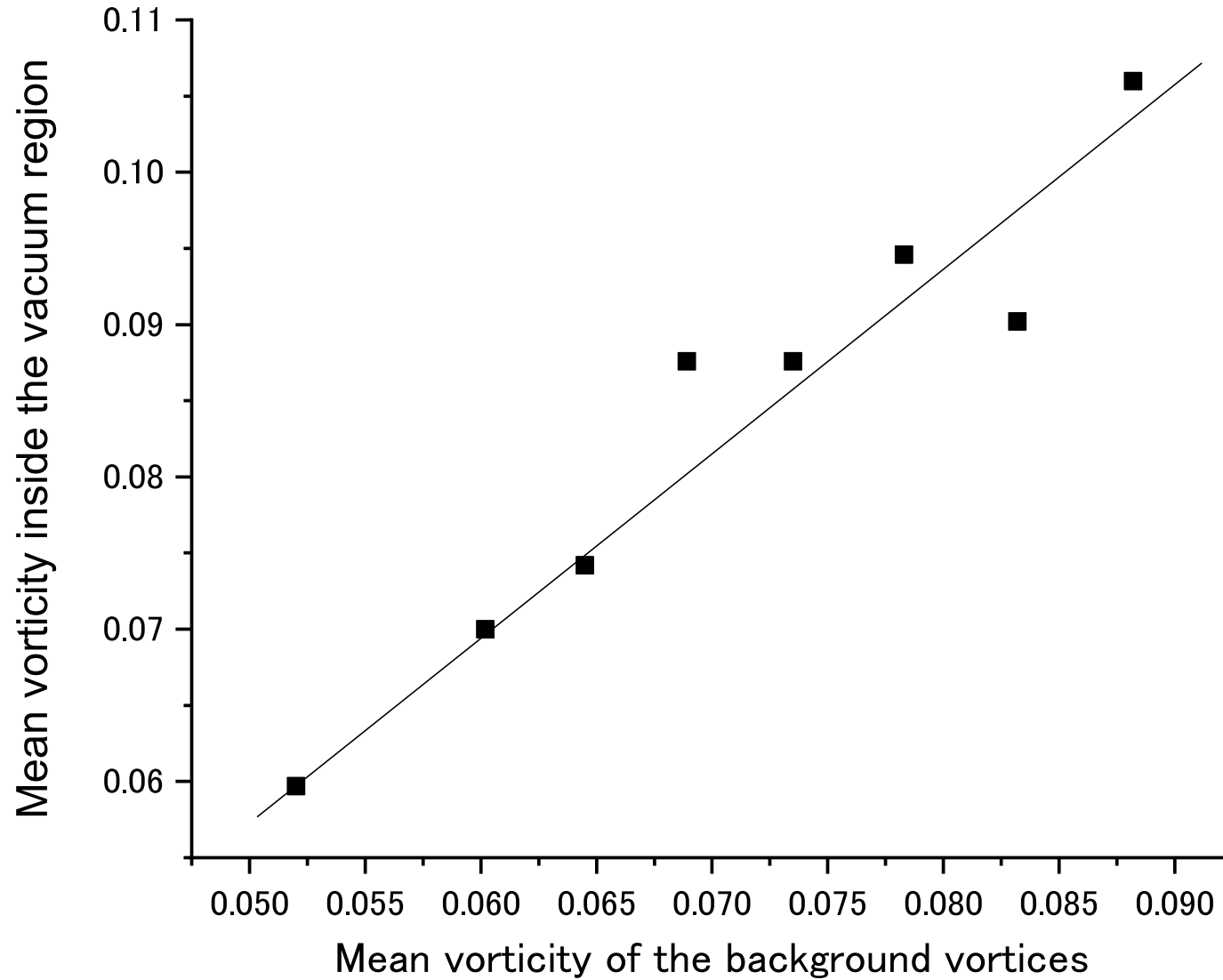


図 5.5 背景渦度とリングホールの平均渦度

・リングホールのサイズを決める条件

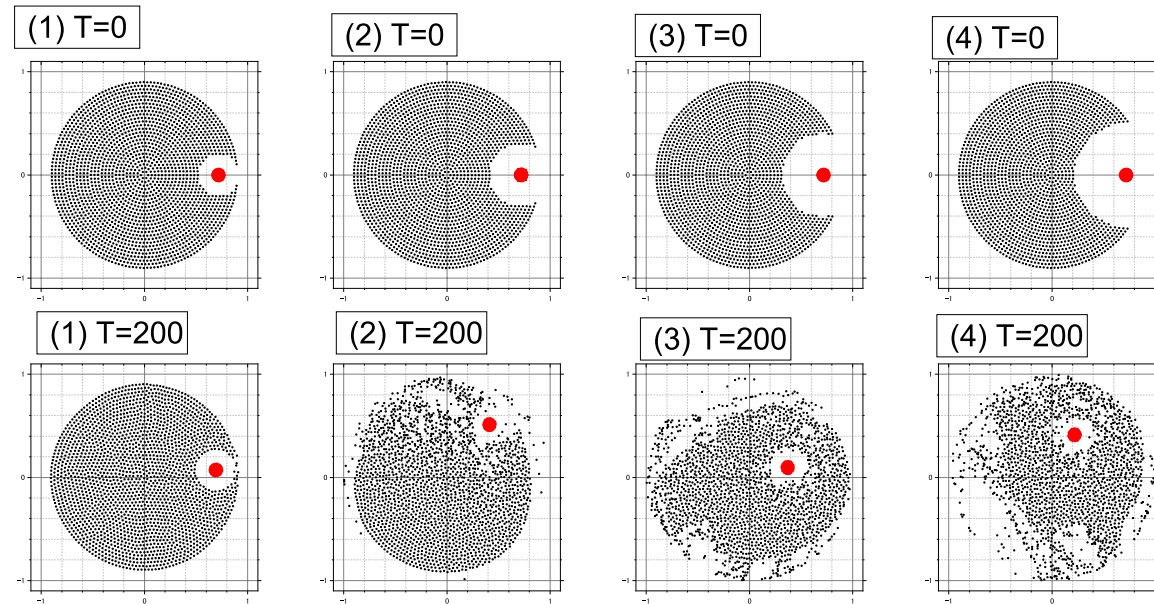


図 5.6 初期のリングホールサイズをパラメタにした
背景とクランプの渦度は一定

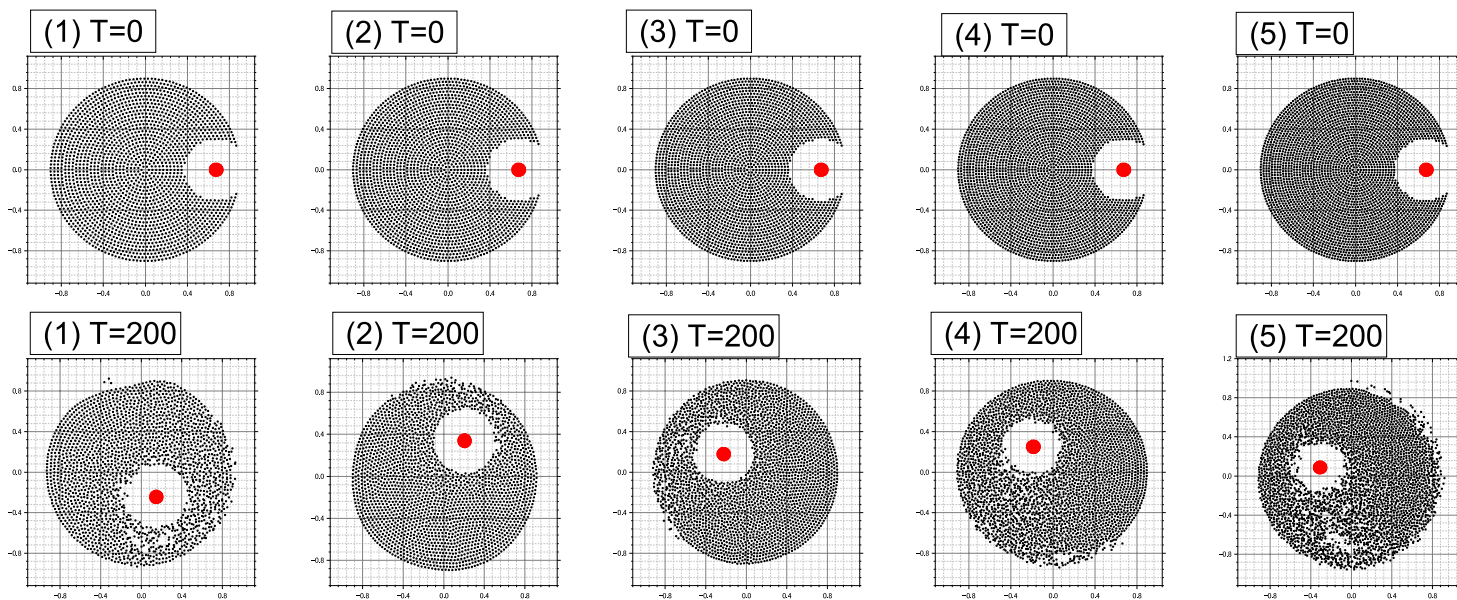


図 5.7 背景渦度をパラメタにした

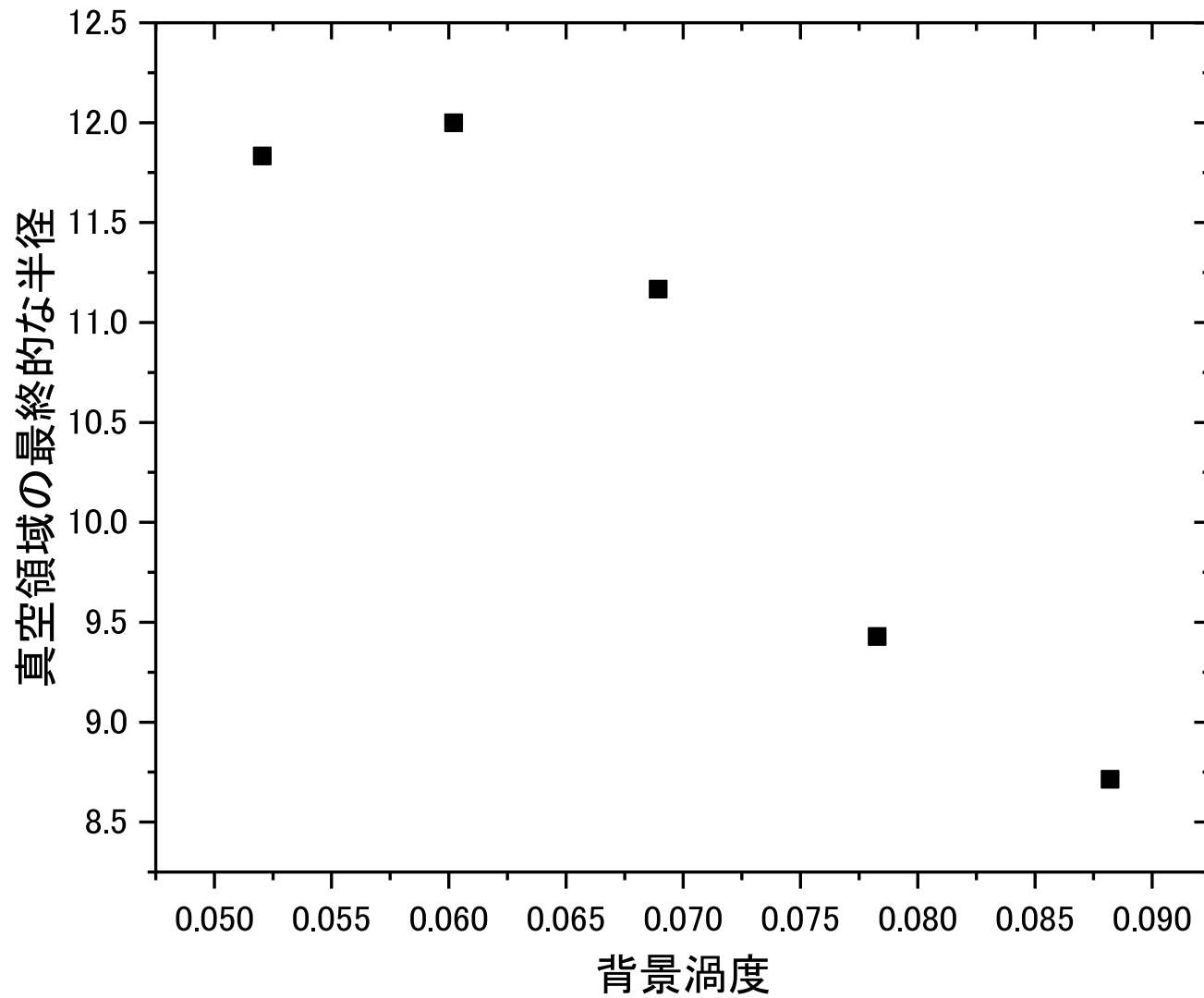


図 5.8 ホールサイズは，背景渦度が強くなるに従って小さくなる

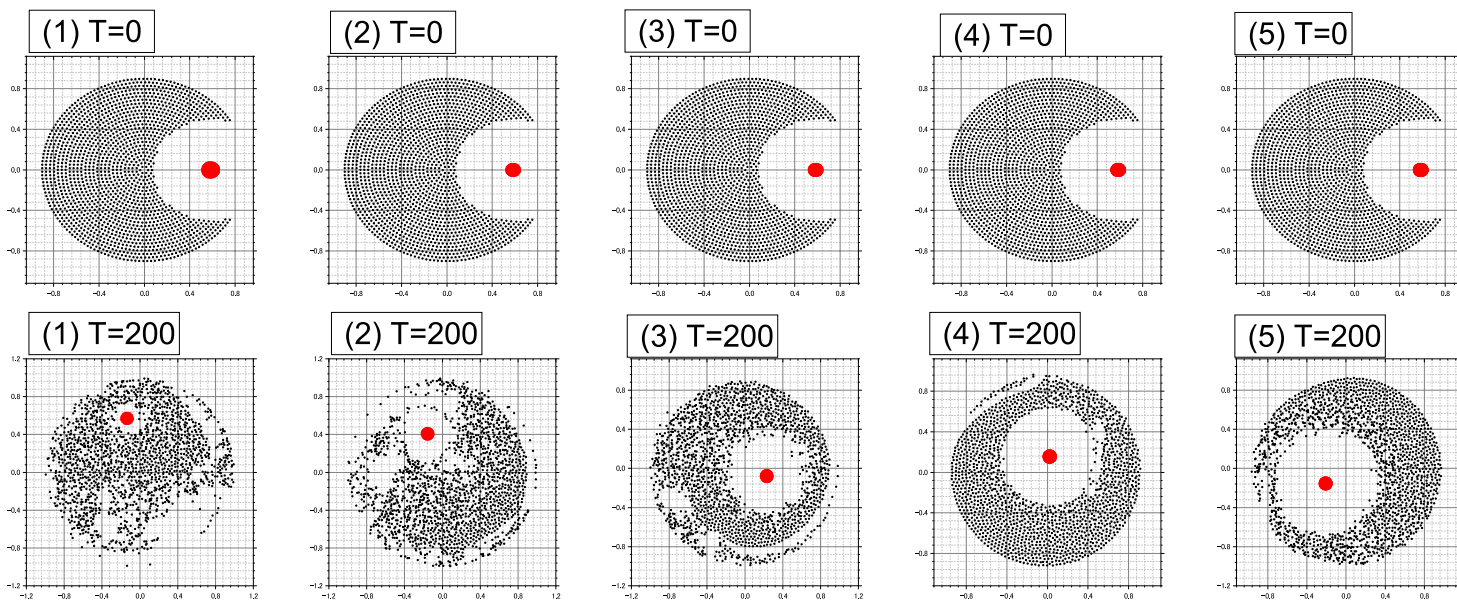


図 5.9 クランプの渦度をパラメタにした

- 相関関数に課される条件からホールサイズの上限を見積もってみたところ,

$$|\epsilon R|^2 \leq \frac{N}{2}$$

という不等式が成立することがわかった。

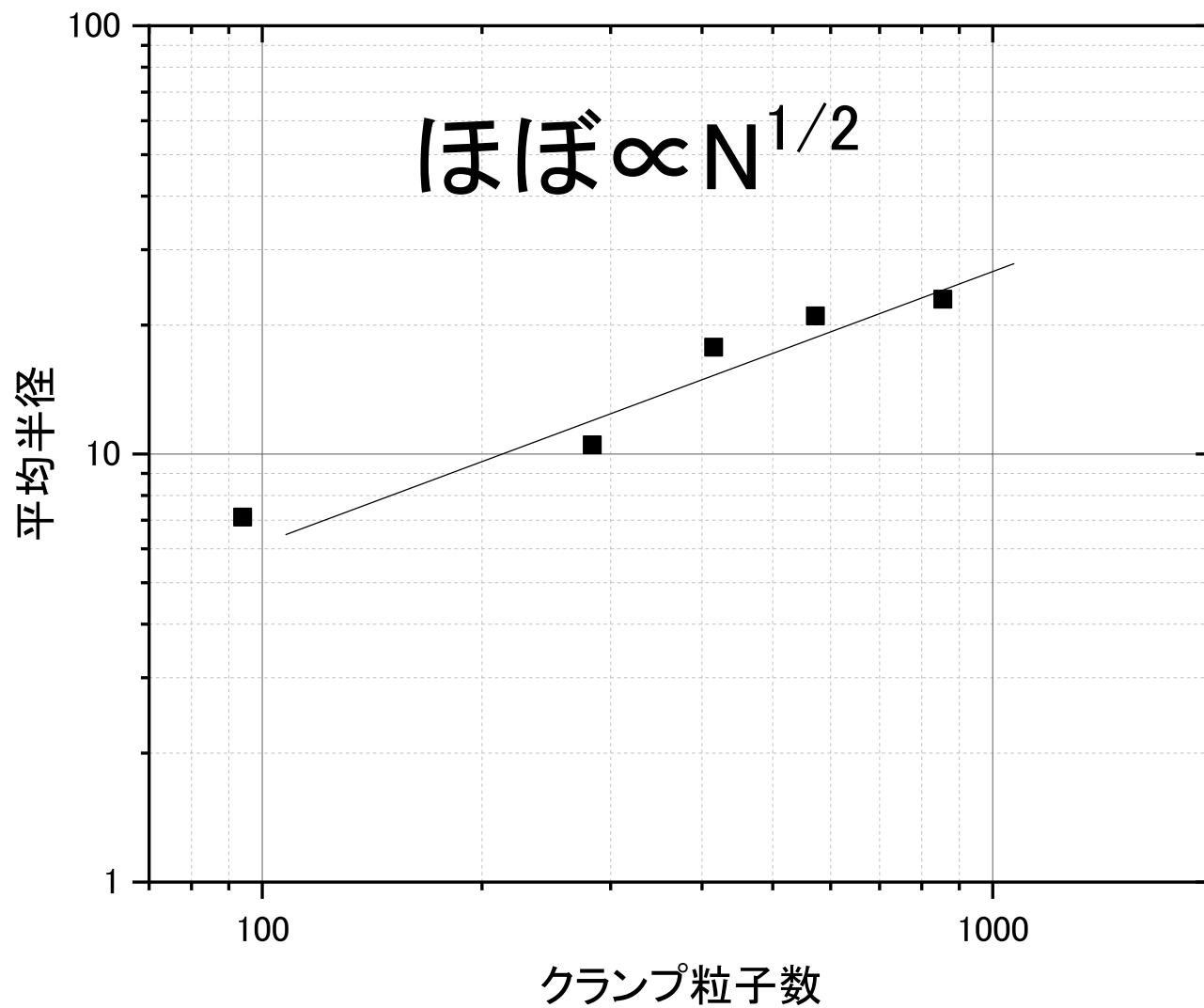


図 5.10 シミュレーションから見積もったホールサイズ

6. Conclusion

- 自己組織化／大規模構造形成のメカニズムを明らかにしたい。
- 点渦系を研究対象とした
 - 2次元で簡便
 - 数学的にも数値的にも扱いやすい
- Fokker-Planck 型衝突項では, ドリフト項が自己組織化の鍵を握る
- Repulsive な効果をもつ相関関数を解析的に得ることに成功した
- 数学的に厳密な取り扱いが (厳しいながらも) 可能

- 重力多体系を目指したい

